

Optimisation aérodynamique par modèle réduit POD et méthode à région de confiance

Michel Bergmann, Laurent Cordier & Jean-Pierre Brancher

`Michel.Bergmann@ensem.inpl-nancy.fr`

Laboratoire d'Énergétique et de Mécanique Théorique et Appliquée

UMR 7563 (CNRS - INPL - UHP)

ENSEM - 2, avenue de la Forêt de Haye

BP 160 - 54504 Vandoeuvre Cedex, France



Plan de l'exposé

Configuration et méthodes de résolutions numériques

Réduction de modèle

Décomposition Orthogonale aux valeurs Propres (POD)

Choix des réalisations en optimisation

Modes de non-équilibre

Système dynamique

Formulation contrôle optimal POD ROM

Fonction objectif

Système optimal

Résolution du système optimal

Résolution du problème d'optimisation en boucle fermée

Présentation

Méthode à région de confiance

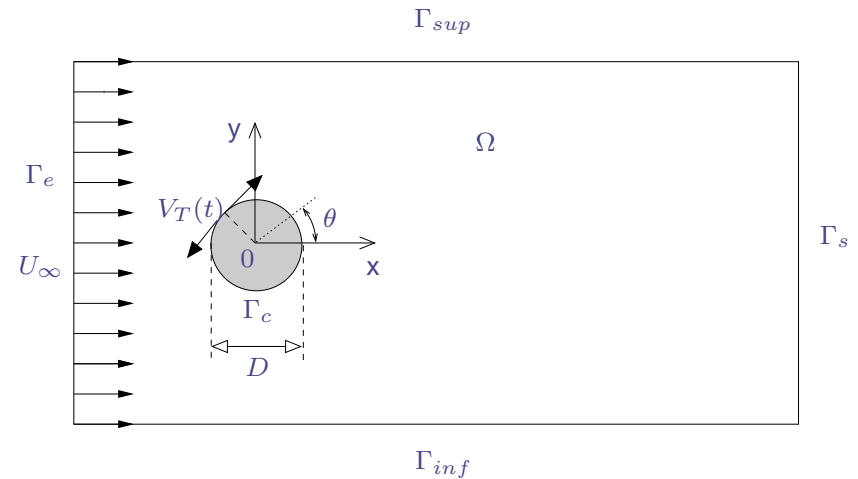
Résultats numériques

Conclusions et perspectives



Configuration et méthodes de résolutions numériques

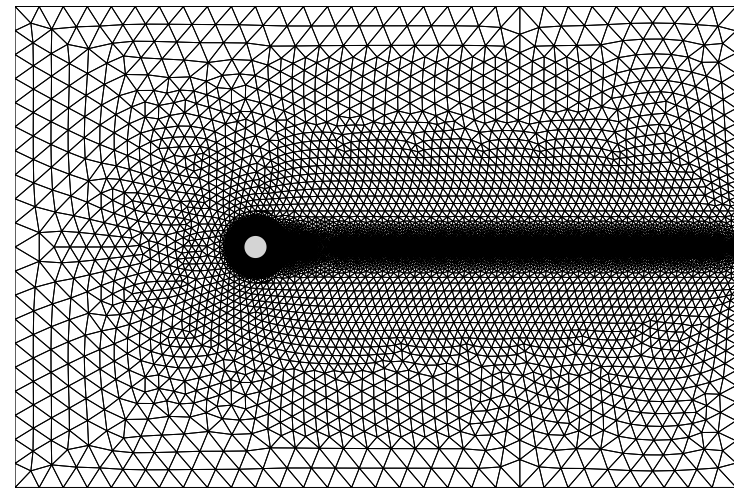
- Écoulement 2D autour d'un cylindre circulaire à $Re = 200$
- Fluide visqueux, incompressible et newtonien
- Oscillations du cylindre à une vitesse tangentielle $\gamma(t) = A \sin(2\pi S_t t)$

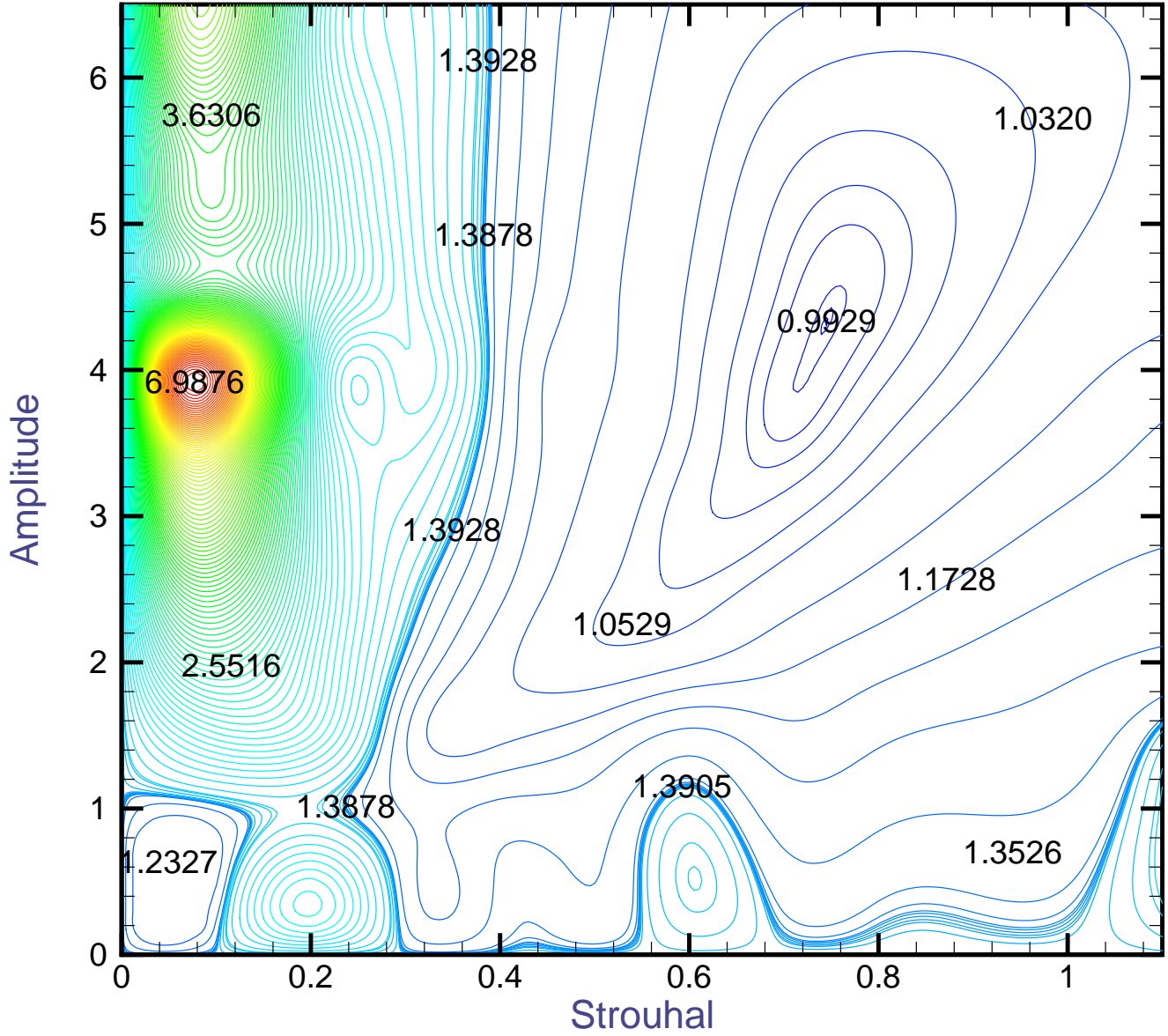


▷ Déterminer les paramètres $\mathbf{c} = (A, S_t)^T$ qui minimisent le coefficient de traînée moyen

- Méthode à pas fractionnaires (correction de pression) en temps
- Éléments finis (P_1, P_1) en espace

Code de calcul développé par M. Braza et D. Ruiz (IMFT-ENSEEIHT).





Coefficient de traînée moyen en fonction de l'amplitude et de la fréquence de forçage.



► Proper Orthogonal Decomposition (POD), Lumley (1967).

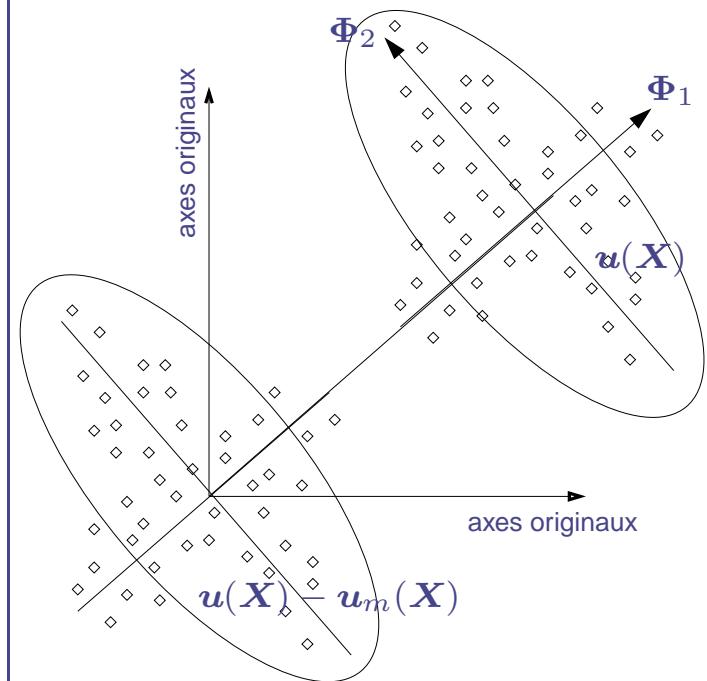
► Rechercher la réalisation $\Phi(\mathbf{X})$ "ressemblant le plus" en moyenne aux réalisations $\mathbf{u}(\mathbf{X})$. ($\mathbf{X} = (\mathbf{x}, t) \in \mathcal{D} = \Omega \times \mathbb{R}^+$)

► $\Phi(\mathbf{X})$ solution du problème :

$$\max_{\Phi} \frac{\langle |(\mathbf{u}, \Phi)|^2 \rangle}{\|\Phi\|^2}.$$

► Convergence optimale *en norme L^2* (énergie) de $\Phi(\mathbf{X})$

⇒ réduction de dynamique envisageable.



Lumley J.L. (1967) : The structure of inhomogeneous turbulence. *Atmospheric Turbulence and Wave Propagation*, ed. A.M. Yaglom & V.I. Tatarski, pp. 166-178.



Réduction de modèle *Décomposition Orthogonale aux valeurs Propres (POD)*

- Equivalence avec une équation intégrale de Fredholm :

$$\int_{\mathcal{D}} R_{ij}(\mathbf{X}, \mathbf{X}') \Phi_j^{(n)}(\mathbf{X}') d\mathbf{X}' = \lambda^{(n)} \Phi_i^{(n)}(\mathbf{X}) \quad n = 1, \dots, N_{POD}$$

↪ $R(\mathbf{X}, \mathbf{X}')$: *tenseur des corrélations spatio-temporelles.*

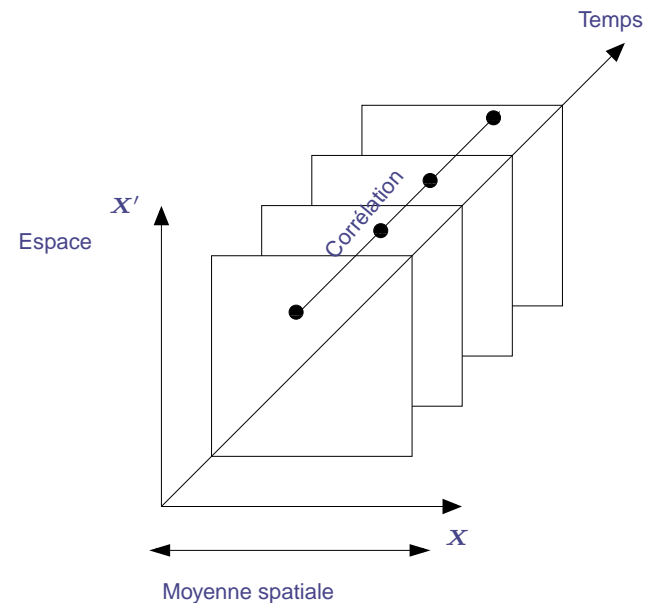
- Méthode des snapshots, Sirovich (1987) :

$$\int_T C(t, t') a^{(n)}(t') dt' = \lambda^{(n)} a^{(n)}(t)$$

↪ $C(t, t')$: *corrélations temporelles.*

- $\Phi(\mathbf{X})$ base de l'écoulement :

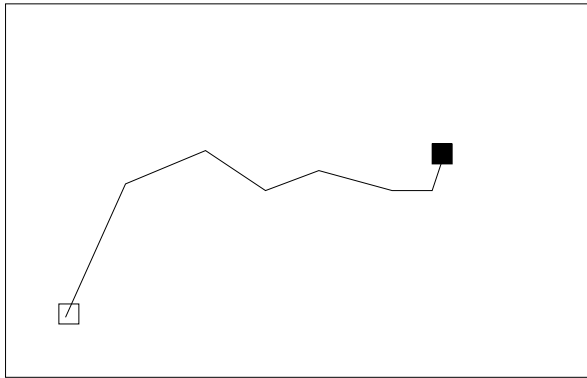
$$\mathbf{u}(\mathbf{x}, t) = \sum_{n=1}^{N_{POD}} a^{(n)}(t) \Phi^{(n)}(\mathbf{x}).$$



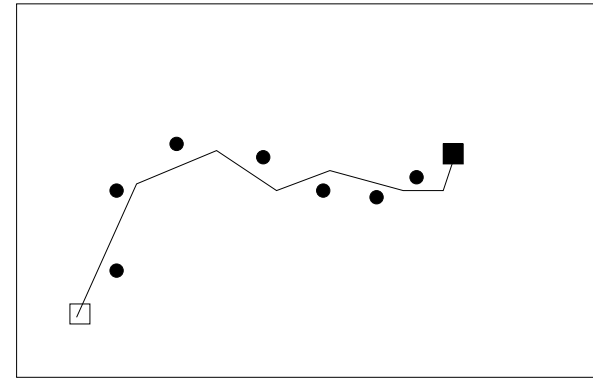
Sirovich L. (1987) : Turbulence and the dynamics of coherent structures. Part 1,2,3 *Quarterly of Applied Mathematics*, XLV N° 3, pp. 561–571.



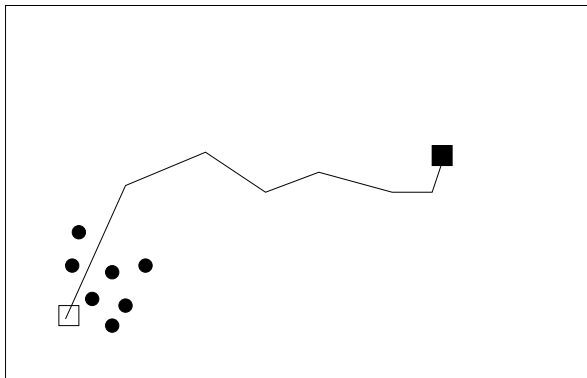
Réduction de modèle *Choix des réalisations en optimisation*



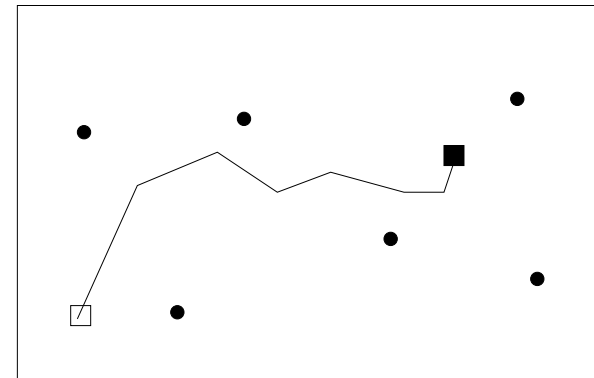
Configuration générale.



Echantillonnage idéal.



Echantillonnage inadapté.



Echantillonnage inadapté.

Problème d'optimisation posé dans l'espace des paramètres de contrôle. — chemin d'optimisation, conditions initiale \square et terminale \blacksquare du processus d'optimisation, \bullet réalisation utilisée pour la base de données.



Réduction de modèle *Modes de non-équilibre*

► Nécessité de directions non prises en compte dans la base POD initiale $\{\Phi_i\}_{i=1,\dots,N_{gal}}$

► Construction de N_{neq} modes particuliers

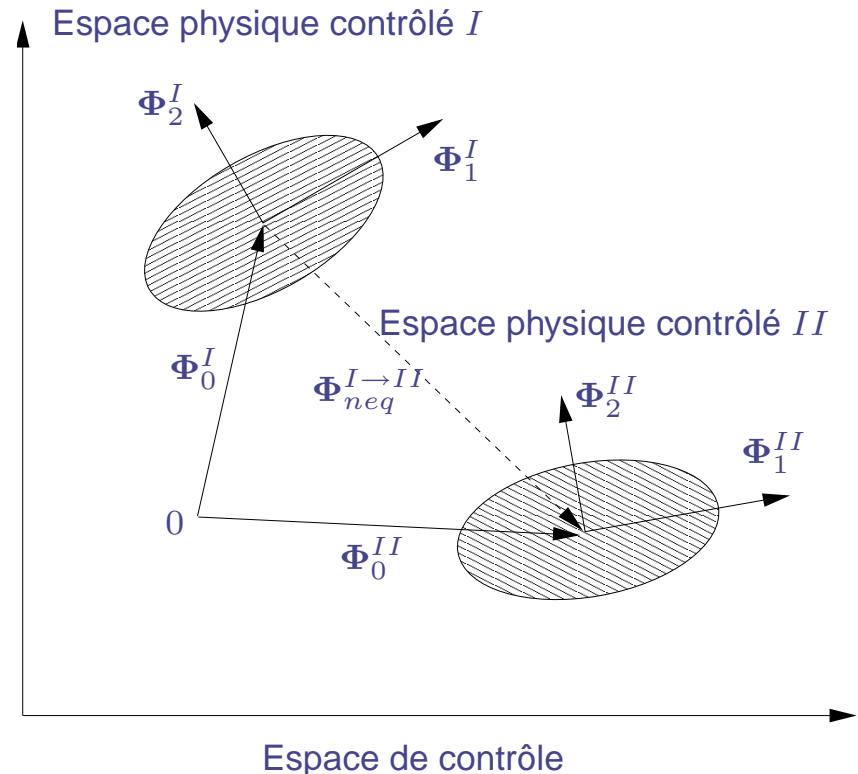
● Vecteur translation entre le champ moyen I et le champ moyen II :

$$\Phi_0^{I \rightarrow II} = \Phi_0^{II} - \Phi_0^I.$$

● Ajout à la base existante (Gram-Schmidt)

$$\Phi_{N_{gal}+1}^I \equiv \tilde{\Phi}_0^{I \rightarrow II}.$$

● Idem pour $\Phi_0^{I \rightarrow III}$, etc...



Représentation schématique d'une transition de dynamique par utilisation d'un mode moyen de non-équilibre.

Noack, B.R., Afanasiev, K., Morzyński, M., Tadmor, G. et Thiele, F. (2003) : A hierarchy of low-dimensional models for the transient and post-transient cylinder wake. *J. Fluid Mech.*, **497** pp. 335–363.



- Projection de Galerkin de Navier-Stokes sur la base POD $\{\Phi_i\}_{i=0, \dots, N_{gal} + N_{neq}}$:

$$\left(\Phi_i, \frac{\partial \mathbf{u}}{\partial t} + (\mathbf{u} \cdot \nabla) \mathbf{u} \right) = \left(\Phi_i, -\nabla p + \frac{1}{Re} \Delta \mathbf{u} \right).$$

- Intégration par parties (formule de Green) :

$$\begin{aligned} \left(\Phi_i, \frac{\partial \mathbf{u}}{\partial t} + (\mathbf{u} \cdot \nabla) \mathbf{u} \right) &= (p, \nabla \cdot \Phi_i) - \frac{1}{Re} \left((\nabla \otimes \Phi_i)^T, \nabla \otimes \mathbf{u} \right) \\ &\quad - [p \Phi_i] + \frac{1}{Re} [(\nabla \otimes \mathbf{u}) \Phi_i]. \end{aligned}$$

avec $[a] = \int_{\Gamma} \mathbf{a} \cdot \mathbf{n} d\Gamma$ et $(A, B) = \int_{\Omega} A : B d\Omega = \sum_{i,j} \int_{\Omega} A_{ij} B_{ji} d\Omega$.



- Décomposition de la vitesse sur $N_{gal} + N_{neq} + 1$ modes :

$$\tilde{\mathbf{u}}(\mathbf{x}, t) = \gamma(\mathbf{c}, t) \mathbf{u}_c(\mathbf{x}) + \underbrace{\sum_{i=0}^{N_{gal}} a_i(t) \Phi_i(\mathbf{x})}_{\text{modes POD Galerkin}} + \underbrace{\sum_{i=N_{gal}+1}^{N_{gal}+N_{neq}} a_i(t) \Phi_i(\mathbf{x})}_{\text{modes de non-équilibre}}.$$

- Système dynamique avec $N_{gal} + N_{neq} + 1$ modes retenus (équations d'état) :

$$\left\{ \begin{array}{l} \frac{da_i(t)}{dt} = \sum_{j=0}^{N_{gal}+N_{neq}} \mathcal{B}_{ij} a_j(t) + \sum_{j=0}^{N_{gal}+N_{neq}} \sum_{k=0}^{N_{gal}+N_{neq}} \mathcal{C}_{ijk} a_j(t) a_k(t) \\ \quad + \mathcal{D}_i \frac{d\gamma(\mathbf{c}, t)}{dt} + \left(\mathcal{E}_i + \sum_{j=0}^{N_{gal}+N_{neq}} \mathcal{F}_{ij} a_j(t) \right) \gamma(\mathbf{c}, t) + \mathcal{G}_i \gamma(\mathbf{c}, t)^2. \\ a^{(i)}(0) = (\mathbf{u}(\mathbf{x}, 0), \Phi_i(\mathbf{x})). \end{array} \right.$$

$\mathcal{A}_i, \mathcal{B}_{ij}, \mathcal{C}_{ijk}, \mathcal{D}_i, \mathcal{E}_i, \mathcal{F}_{ij}$ et \mathcal{G}_i dépendent de Φ, \mathbf{u}_c et Re .



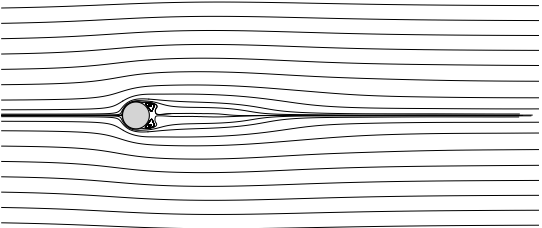
Réduction de modèle *Aspects physiques et dynamiques des modes POD*

Aspects physiques	Modes	Aspects dynamiques
fonction de contrôle	\mathbf{u}_c	dynamique pré-déterminée
mode écoulement moyen	$\mathbf{u}_m, i = 0$	$a_0 = Cste$
modes POD Galerkin correspondent à la physique de l'écoulement	$i = 1$	Système dynamique modes déterminés par intégration du système dynamique (le mode $i = 0$ peut également être résolu et $a_0 \equiv a_0(t)$)
	$i = 2$	
	...	
	$i = N_{gal}$	
modes de non-équilibre correspondent à des directions privilégiées	$i = N_{gal} + 1$	
	...	
	$i = N_{gal} + N_{neq}$	

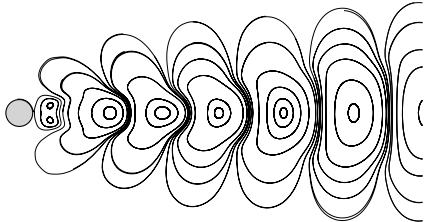
Descriptif des aspects physiques et dynamiques des modes présents dans la décomposition sur la base POD, augmentée des modes de non-équilibre.



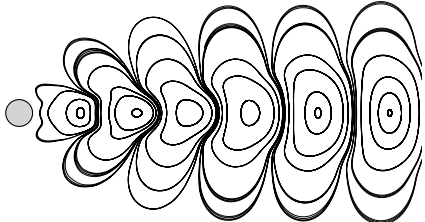
Réduction de modèle *Modes POD Galerkin et modes de non-équilibre*



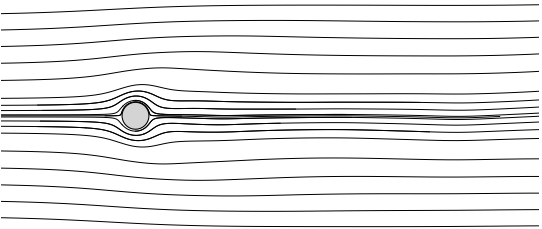
Éclt. contrôlé (*I*) moyen



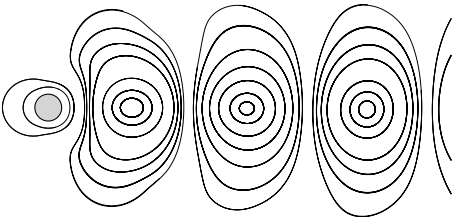
1er mode POD de *I*



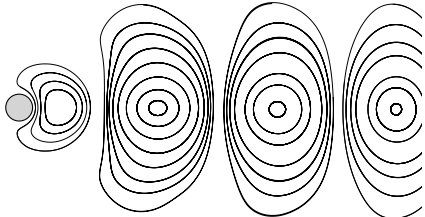
2nd mode POD de *I*



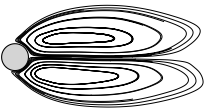
Éclt. contrôlé (*II*) moyen



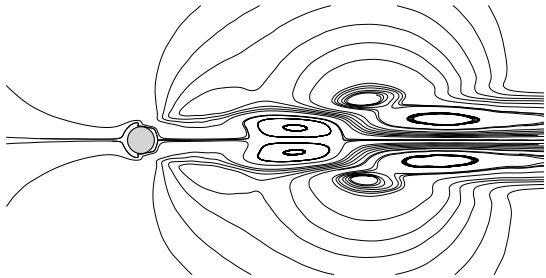
1er mode POD de *II*



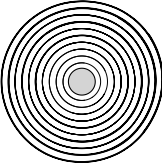
2nd mode POD de *II*



Mode shift de *I* vers *II*



Mode shift de *I* vers base



Fonction de contrôle



► Opérateur de traînée

$$\mathcal{C}_D : \mathbb{R}^3 \mapsto \mathbb{R}$$

$$\mathbf{u} \mapsto 2 \int_{\Gamma_c} \left(u_3 n_x - \frac{1}{Re} \frac{\partial u_1}{\partial x} n_x - \frac{1}{Re} \frac{\partial u_1}{\partial y} n_y \right) d\Gamma.$$

► En variables réduites,

↪ Coefficient de traînée réel Navier-Stokes $C_D = \mathcal{C}_D(\mathbf{U})$ avec $\mathbf{U} = (u, v, p)^T$

↪ Coefficient de traînée modélisé par POD $\tilde{C}_D = \mathcal{C}_D(\tilde{\mathbf{U}})$ avec $\tilde{\mathbf{U}} = (\tilde{u}, \tilde{v}, \tilde{p})^T$

► Problème : \tilde{p} n'est pas connu

↪ La base POD est étendue au champ de pression : $\Phi = (\Phi, \Phi^p)$

$$\Rightarrow \text{Corrélations avec pression } C(t, t') = \frac{1}{T} \int_{\Omega} U_i(\mathbf{x}, t) U_i(\mathbf{x}, t') d\mathbf{x}$$



► Décomposition

$$\tilde{U}(\mathbf{x}, t) = \gamma(\mathbf{c}, t) \mathbf{U}_c(\mathbf{x}) + \underbrace{\sum_{i=0}^{N_{gal}} a_i(t) \Phi_i(\mathbf{x})}_{\text{modes POD Galerkin}} + \underbrace{\sum_{i=N_{gal}+1}^{N_{gal}+N_{neq}} a_i(t) \Phi_i(\mathbf{x})}_{\text{modes de non-équilibre}}.$$

► Evolution du coefficient de traînée modélisé par POD

$$\tilde{C}_D(\mathbf{a}) = \sum_{i=0}^{N_{gal}} a_i(t) N_i + \sum_{i=N_{gal}+1}^{N_{gal}+N_{neq}} a_i(t) N_i \quad \text{avec} \quad N_i = C_D(\Phi_i).$$

► Fonction objectif modélisée par POD (coefficient de traînée moyen)

$$\tilde{J}(\mathbf{a}) = \frac{1}{T} \int_0^T \sum_{i=0}^{N_{gal}+N_{neq}} a_i(t) N_i dt.$$



► Système dynamique adjoint :

$$\left\{ \begin{array}{l} \frac{d\xi_i(t)}{dt} = - \sum_{j=0}^{N_{gal}+N_{neq}} \left(\mathcal{B}_{ji} + \gamma(\mathbf{c}, t) \mathcal{F}_{ji} + \sum_{k=0}^{N_{gal}+N_{neq}} (\mathcal{C}_{jik} + \mathcal{C}_{jki}) a_k(t) \right) \xi_j(t) - \frac{1}{T} N_i, \\ \xi_i(T) = 0. \end{array} \right.$$

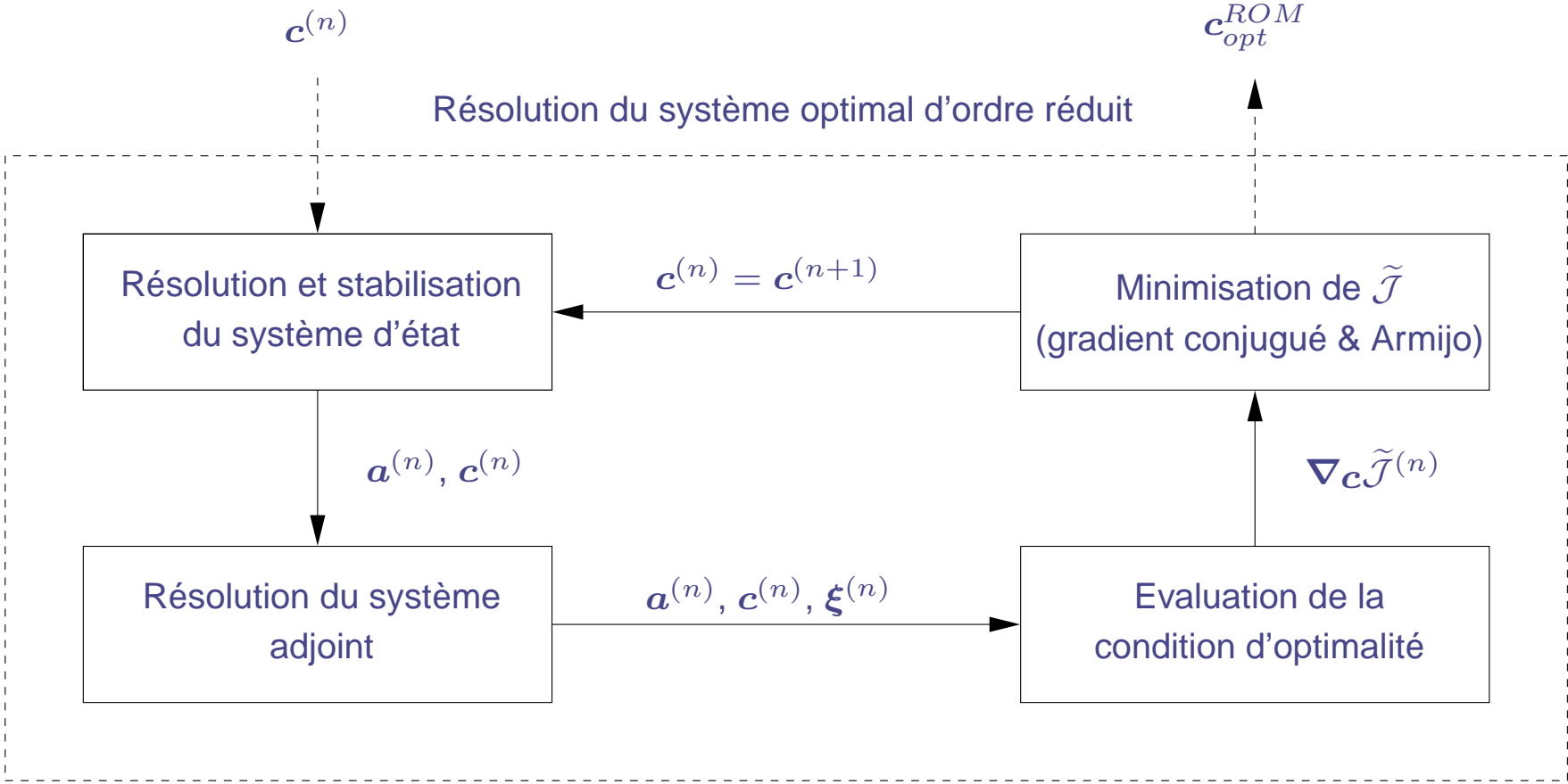
► Conditions d'optimalité

$$\nabla_{\mathbf{c}} \mathcal{L} = \int_0^T \left(\sum_{i=0}^{N_{gal}+N_{neq}} \mathcal{L}_i \right) \nabla_{\mathbf{c}} \gamma dt.$$

$$\text{avec } \mathcal{L}_i = -\frac{d\xi_i}{dt} \mathcal{D}_i + \xi_i \left(\mathcal{E}_i + \sum_{j=0}^{N_{gal}+N_{neq}} \mathcal{F}_{ij} a_j + 2\gamma(\mathbf{c}, t) \mathcal{G}_i \right)$$



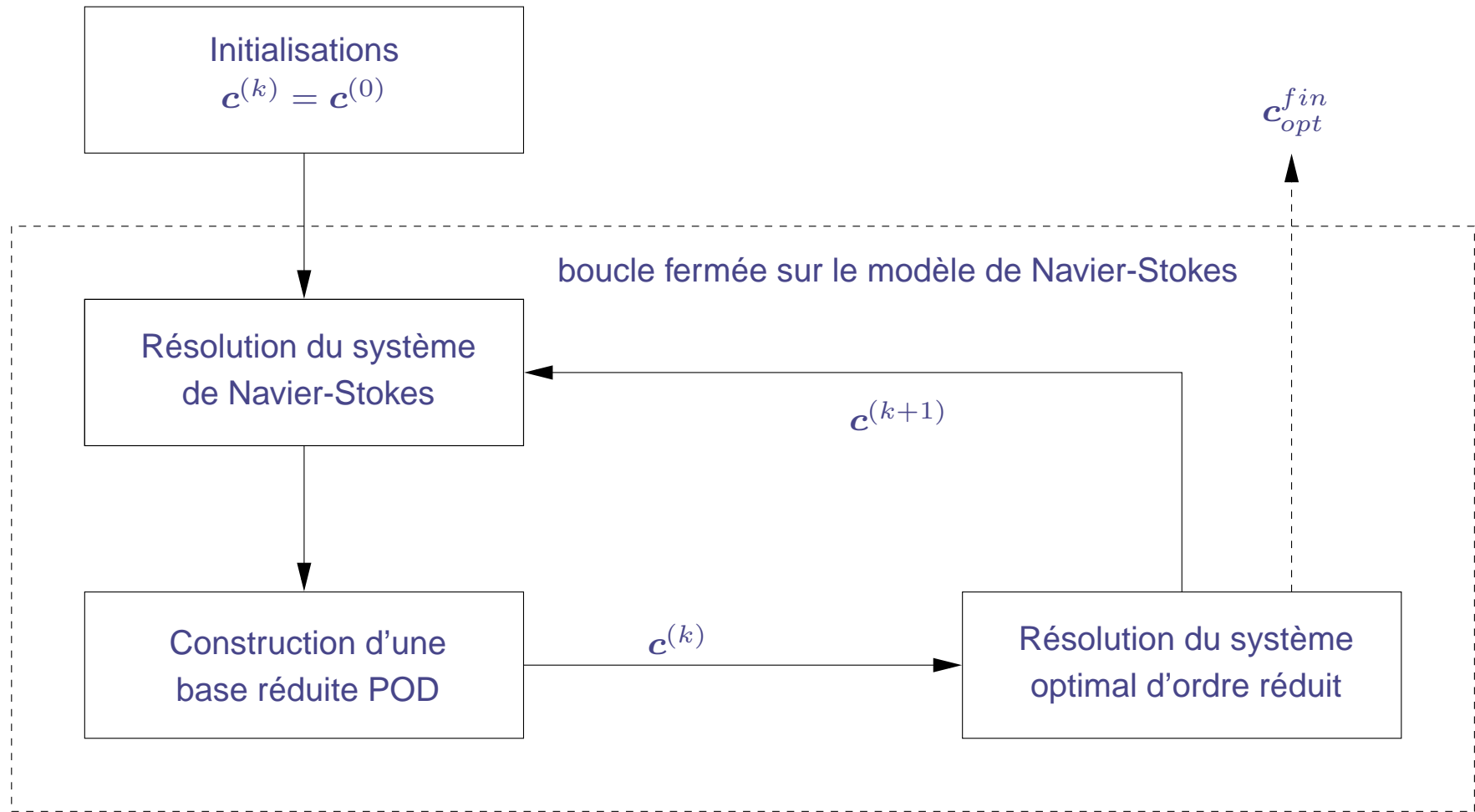
Formulation contrôle optimal ROM POD *Résolution du système optimal*



Représentation schématique du processus de résolution du système optimal d'ordre réduit.



Résolution du problème d'optimisation *Présentation*



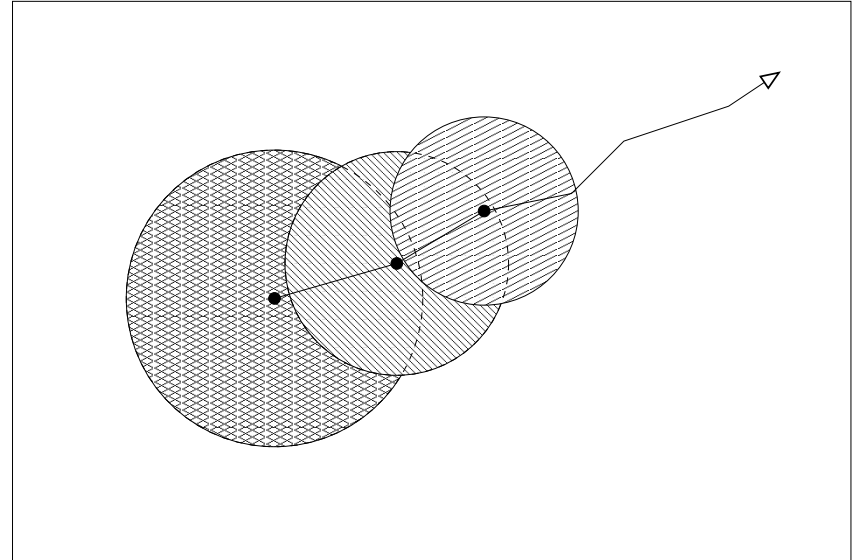
Représentation schématique de la méthode d'optimisation adaptative POD en boucle fermée.

Quand avoir recours au modèle détaillé ?



→ Déterminer un domaine de validité du modèle réduit

- Domaine "infini" (pas de contraintes)
- Détermination empirique : méthode adaptative
- Détermination automatique : méthode à région de confiance (TRPOD)



Avantages TRPOD

- ▶ Pas d'empirisme
- ▶ Preuves de convergence de la solution sous certaines conditions

Conn, A.R., Gould, N.I.M. et Toint, P.L. (2000) : Trust-region methods. *SIAM, Philadelphia.*



Résolution du problème d'optimisation *Méthode à région de confiance*

Choix de constantes $0 < \eta_1 < \eta_2 < 1$, et $0 < \gamma_1 < \gamma_2 < 1 \leq \gamma_3$.

Choix d'un rayon de la région Δ_0 , et choix de \mathbf{c}_0 . Détermination d'un jeu de réalisations \mathcal{U}_0 et évaluation de la fonction objectif réelle $\mathcal{J}(\mathbf{c}_0)$. Initialisation $k = 0$.

1. Calcul d'une base POD avec \mathcal{U}_k et construction d'un modèle réduit contrôlé.
2. Construction de la fonction modèle POD, $\tilde{\mathcal{J}}$, et résolution (approchée) du problème

$$\mathbf{s}_k = \arg \min_{\mathbf{s} \in \mathbb{R}^n} \tilde{\mathcal{J}}(\mathbf{c}_k + \mathbf{s}) \quad \text{sous les contraintes} \quad \|\mathbf{s}\| \leq \Delta_k.$$

3. Détermination de \mathcal{U}_{k+} , et de la fonction objectif réelle, $\mathcal{J}(\mathbf{c}_k + \mathbf{s}_k)$. Calcul de ρ_k :

$$\rho_k = \frac{\mathcal{J}(\mathbf{c}_k) - \mathcal{J}(\mathbf{c}_k + \mathbf{s}_k)}{\tilde{\mathcal{J}}(\mathbf{c}_k) - \tilde{\mathcal{J}}(\mathbf{c}_k + \mathbf{s}_k)}.$$

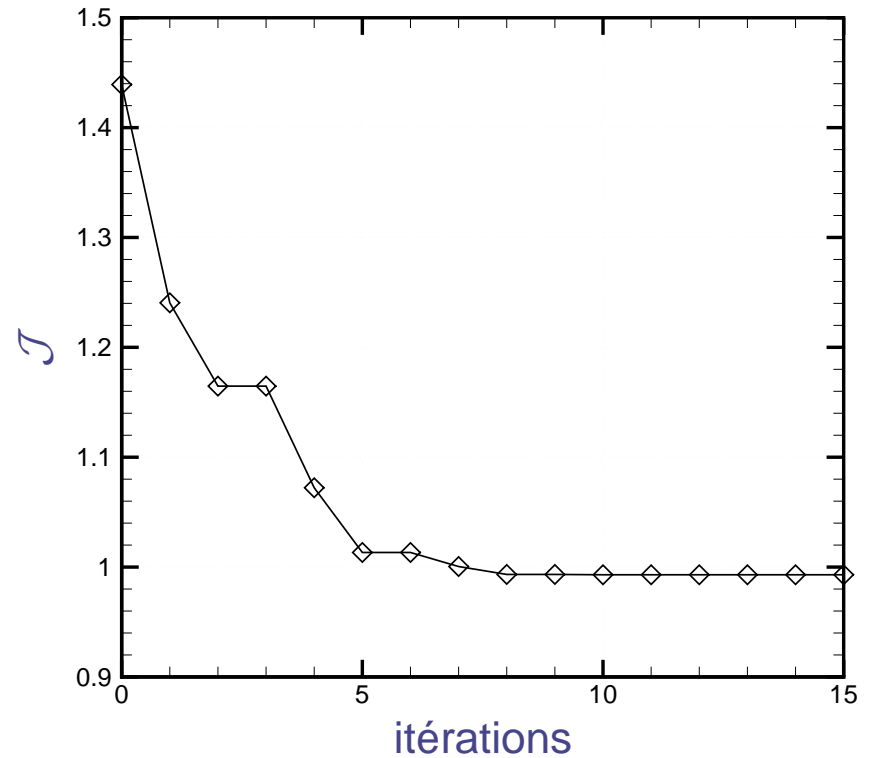
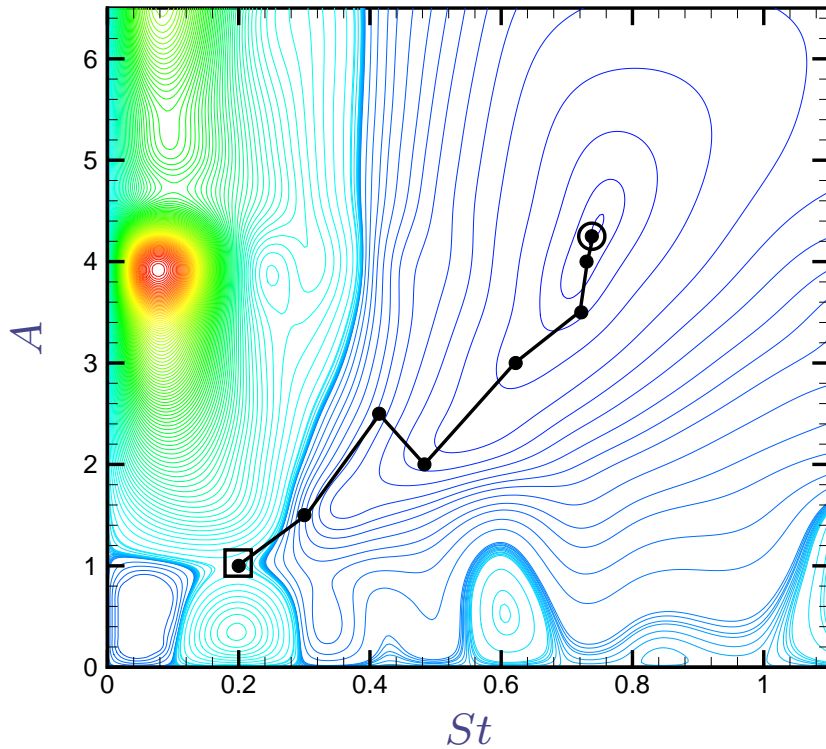
4. Actualisation du rayon de la région de confiance :

- (a) Si $\rho_k \geq \eta_2$, **SUCCÈS** : $\mathbf{c}_{k+1} = \mathbf{c}_k + \mathbf{s}_k$, $\mathcal{U}_{k+1} = \mathcal{U}_{k+}$, et $\Delta_k = \gamma_3 \Delta_k$.
Si convergence, stop. Sinon $k = k + 1$ et retour à l'étape 1.
- (b) Si $\eta_1 \leq \rho_k \leq \eta_2$, **SUCCÈS** : $\mathbf{c}_{k+1} = \mathbf{c}_k + \mathbf{s}_k$, $\mathcal{U}_{k+1} = \mathcal{U}_{k+}$ et $\Delta_k = \gamma_2 \Delta_k$.
Si convergence, stop. Sinon $k = k + 1$ et retour à l'étape 1.
- (c) Si $\rho_k < \eta_1$, **ÉCHEC** : $\mathbf{c}_{k+1} = \mathbf{c}_k$, $\mathcal{U}_{k+1} = \mathcal{U}_k$ et $\Delta_k = \gamma_1 \Delta_k$.
 $k = k + 1$ et retour à l'étape 2.



Résolution du problème d'optimisation *Résultats numériques*

Paramètres de contrôle initiaux : $A = 1,0$ et $St = 0,2$



Paramètres de contrôle optimaux : $A = 4,25$ et $St = 0,74$

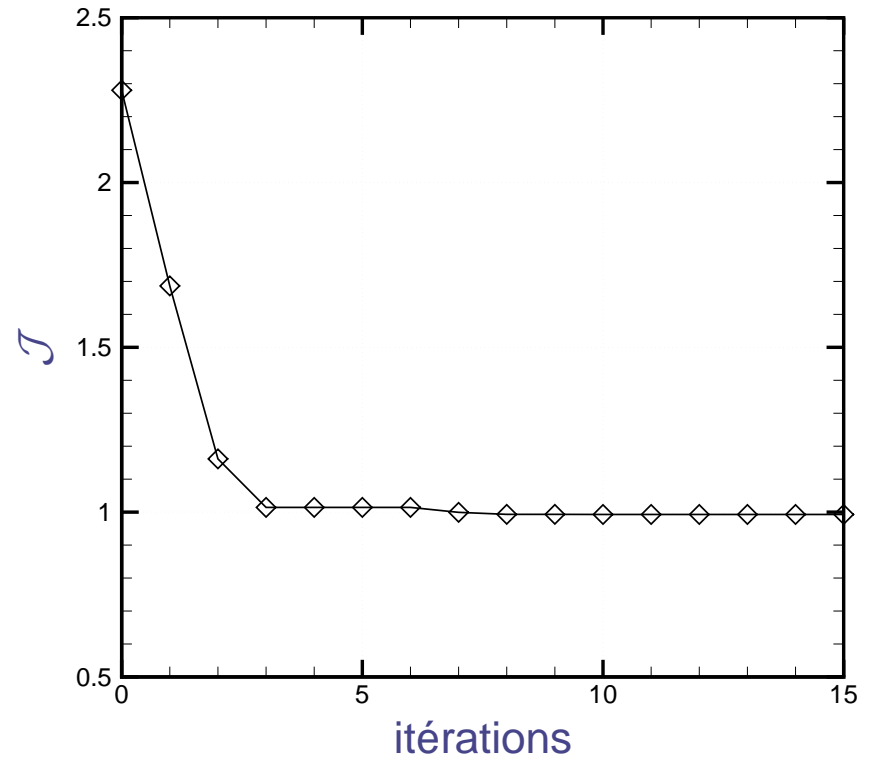
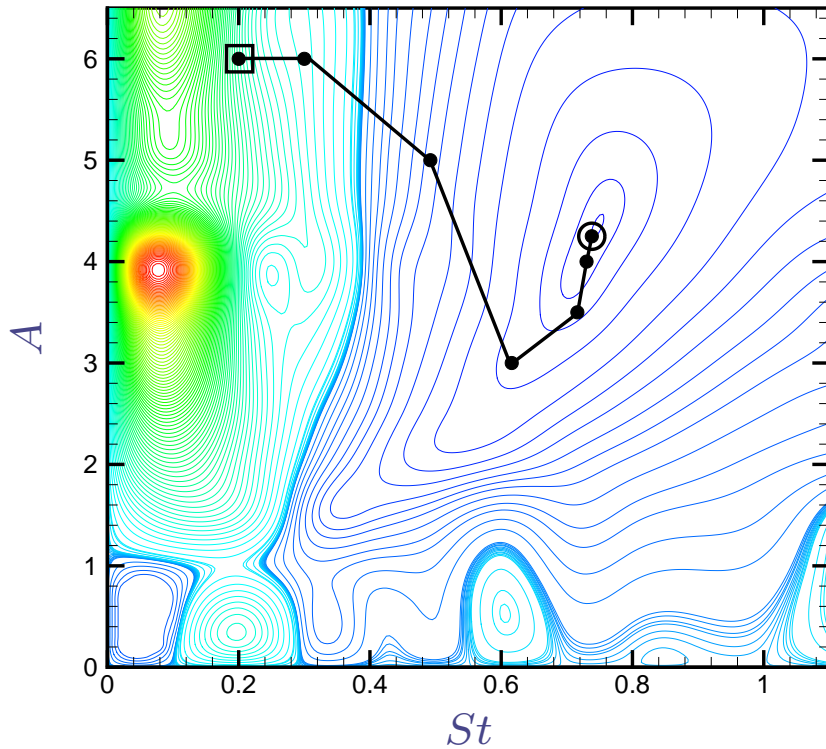
Coefficient de traînée moyen : $\mathcal{J} = 0,99$

Obtenus en uniquement 8 résolutions de Navier-Stokes



Résolution du problème d'optimisation *Résultats numériques*

Paramètres de contrôle initiaux : $A = 6,0$ et $St = 0,2$



Paramètres de contrôle optimaux : $A = 4,25$ et $St = 0,74$

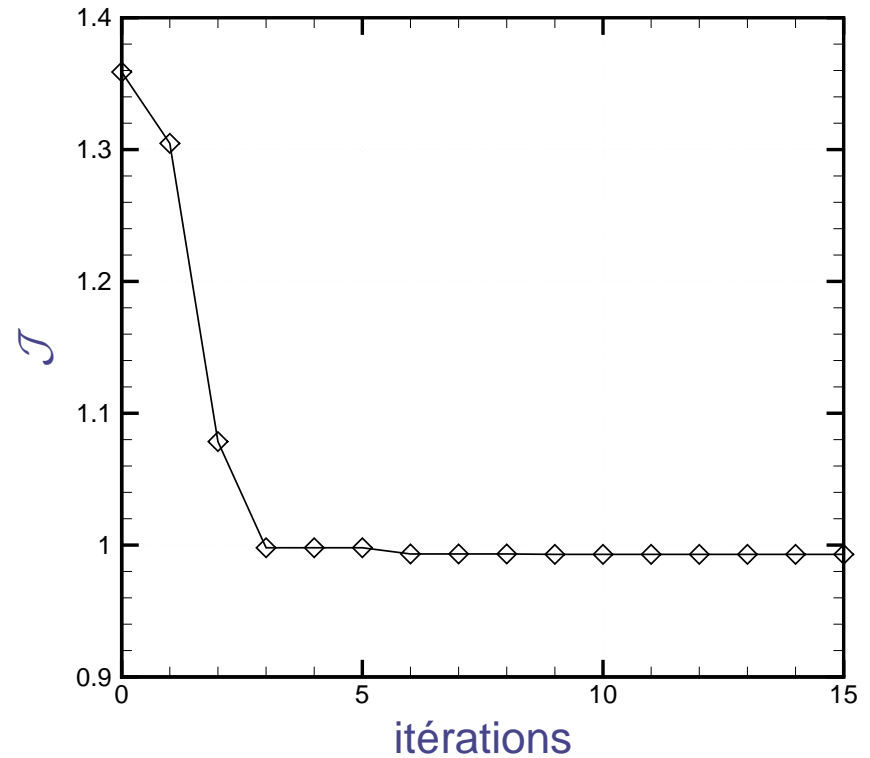
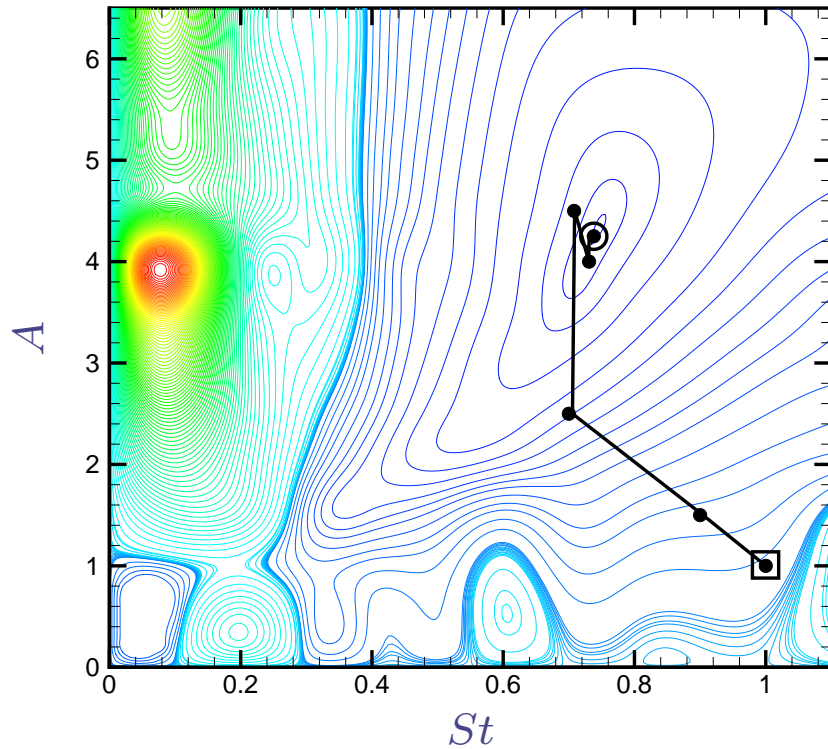
Coefficient de traînée moyen : $\mathcal{J} = 0,99$

Obtenus en uniquement 6 résolutions de Navier-Stokes



Résolution du problème d'optimisation *Résultats numériques*

Paramètres de contrôle initiaux : $A = 1,0$ et $St = 1,0$



Paramètres de contrôle optimaux : $A = 4,25$ et $St = 0,74$

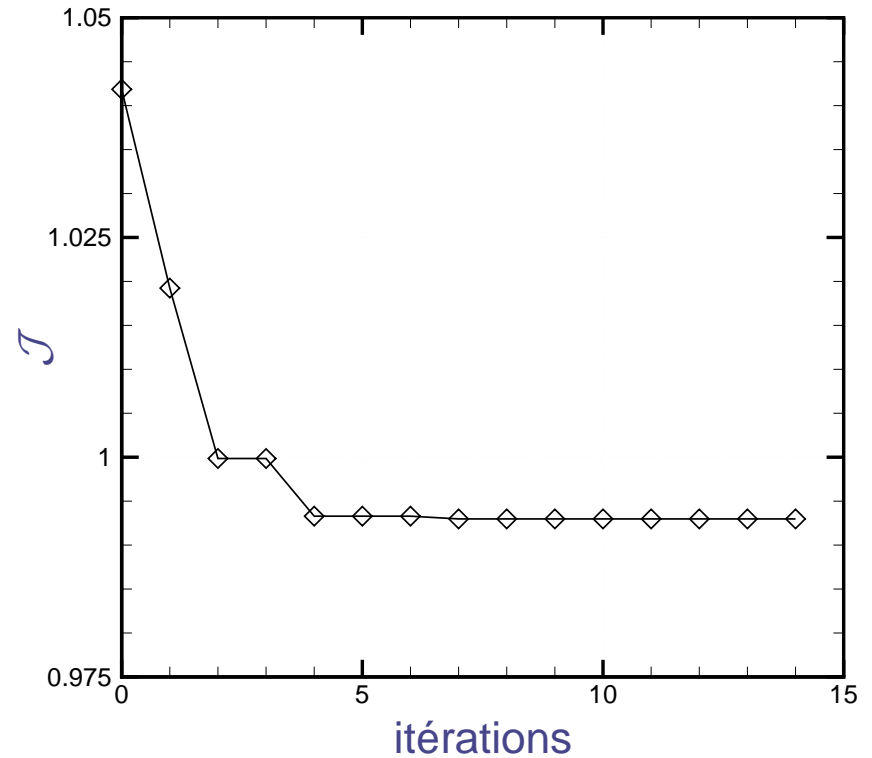
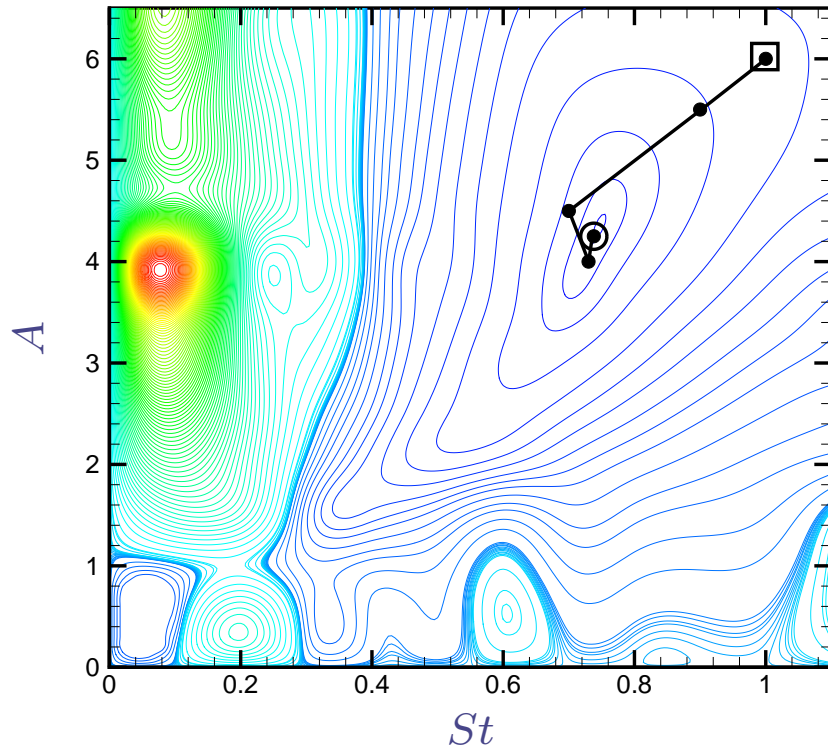
Coefficient de traînée moyen : $\mathcal{J} = 0,99$

Obtenus en uniquement 5 résolutions de Navier-Stokes



Résolution du problème d'optimisation *Résultats numériques*

Paramètres de contrôle initiaux : $A = 6,0$ et $St = 1,0$



Paramètres de contrôle optimaux : $A = 4,25$ et $St = 0,74$

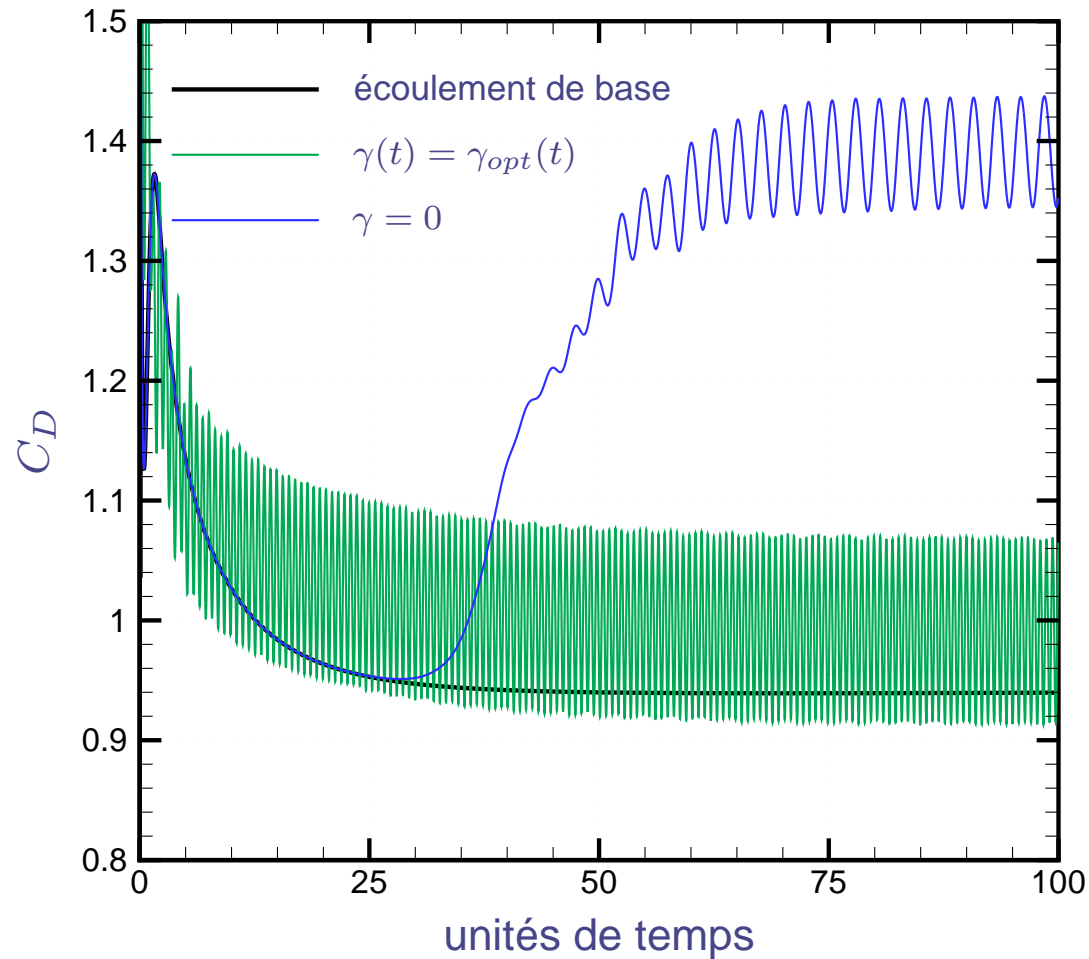
Coefficient de traînée moyen : $\mathcal{J} = 0,99$

Obtenus en uniquement 4 résolutions de Navier-Stokes



Résolution du problème d'optimisation *Résultats numériques*

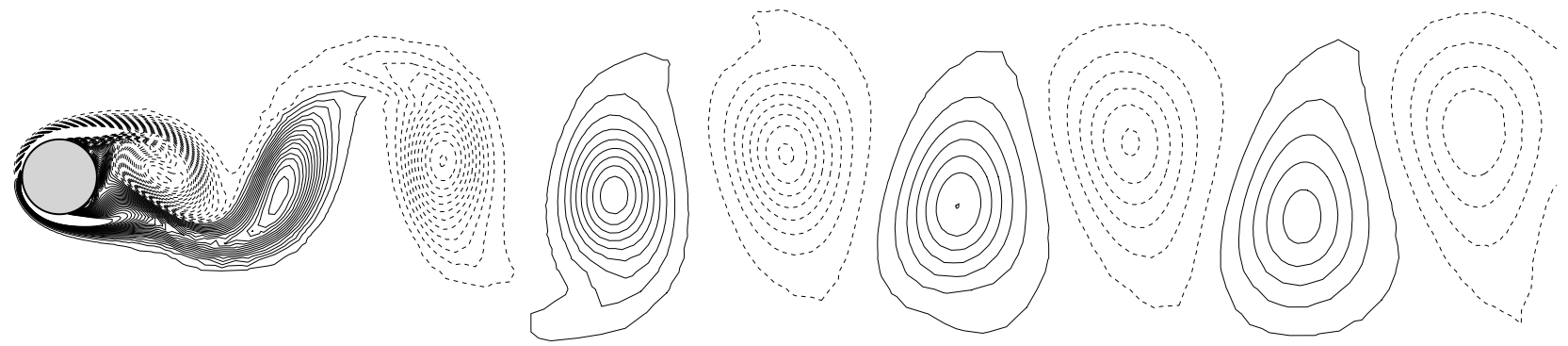
► Loi de contrôle optimale : $\gamma_{opt}(t) = A \sin(2\pi S_t t)$ avec $A = 4,25$ et $S_t = 0,74$



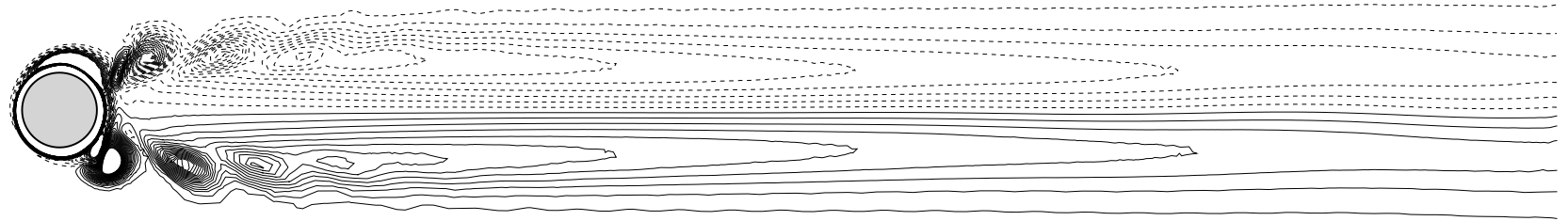
► Diminution relative du coefficient de traînée de 30% ($\mathcal{J}_0 = 1,4 \Rightarrow \mathcal{J}_{opt} = 0,99$)



Résolution du problème d'optimisation *Résultats numériques*



Écoulement non contrôlé, $\gamma = 0$



Écoulement contrôlé, $\gamma = \gamma_{opt}$



Conclusions et perspectives

- ▶ Paramètres de contrôle obtenus → paramètres de contrôle optimaux
- ▶ Réduction relative du coefficient de traînée moyen égale à 30%
- ▶ Coûts de calcul extrêmement réduits
- Temps de calcul : 100 fois inférieur par POD ROM que par NSE ! (idem équations adjointes et condition d'optimalité)
- Stockage mémoire : 600 fois moins de variables par POD ROM que par NSE !
 - ↪ Contrôle "optimal" écoulements 3D envisageable !
- ▶ Extension à des géométries complexes 3D (ailes d'avion)
- ▶ Précautions sur le choix des réalisations
 - ⇒ Méthode *Centroidal Voronoi Tessellation* (CVT) proposée par Gunzburger
 - ⇒ Propriétés de stabilité (Rempfer, Noack)
- ▶ Amélioration de la représentativité POD ROM par *balanced POD* (Rowley, Willcox)
- ▶ Contrôle optimal Navier-Stokes...

